

11;12
 ©1994 г.

СКАНИРУЮЩАЯ ТУННЕЛЬНАЯ МИКРОСКОПИЯ ФАЗОВЫХ ПЕРЕХОДОВ В АДСОРБИРОВАННЫХ ПЛЕНКАХ ВИСМУТА: СИСТЕМА Bi/Si (111)

P.З.Бахтизин, Ч.Пак,¹ Т.Хашицуме,² Т.Сакурай²

Башкирский университет, 450074, Уфа
 (Поступило в Редакцию 14 июля 1993 г.
 В окончательной редакции 11 января 1994 г.)

Методами сканирующей туннельной микроскопии (СТМ) и дифракции медленных электронов (ДМЭ) исследована реконструкция $(\sqrt{3} \times \sqrt{3})R30^\circ$, вызванная адсорбцией висмута на атомарно-чистой поверхности Si(111) 7×7 . Впервые получены СТМ изображения системы Bi/Si (111) с атомным разрешением. В пределах симметрии $(\sqrt{3} \times \sqrt{3})$, наблюдавшейся на картинах ДМЭ поверхности кремния, впервые с помощью СТМ удалось обнаружить три отчетливые фазы: монометры, тримеры и структуру типа пчелиных сот, образование которых связано с различной степенью покрытия адсорбатом. При малых покрытиях атомы Bi занимают T_4 -центры (по DAS-модели Такаянаги) и в этой адсорбционной геометрии α -фаза (монометры) стабильно формируется вплоть до покрытия $1/3$ монослоя. β -фаза (тримеры) наблюдалась при монослойном покрытии, причем на СТМ изображениях кластеров висмута удалось разрешить отдельные атомы Bi. При промежуточных покрытиях с помощью СТМ впервые была обнаружена структура типа пчелиных сот, существующая вместе с тримерами. Этот результат свидетельствует о существовании дополнительного нового, зависящего от величины покрытия процесса реконструкции.

Введение

Изучение микроскопических процессов, происходящих на начальных стадиях формирования межфазной границы металл–полупроводник, продолжает оставаться предметом многочисленных исследований. Особый интерес при этом вызывает исследование атомной структуры поверхности кремния, покрытой субмонослойными пленками металлов групп III–IV, что обусловлено потребностями полупроводниковой микроэлектроники [1,2]. Адсорбция этих металлов обычно приводит к появлению различных сверхструктур и специфических фазовых

¹ Физический факультет Национального университета Чхонбуг, г. Чхонджу 560-756, Южная Корея.

² Институт проблем материаловедения Университета Тохоку, г. Сендай 980, Япония.

переходов на поверхностях, причем для поверхности Si (111) 7×7 наиболее часто встречается реконструкция $(\sqrt{3} \times \sqrt{3})R30^\circ$, как это наблюдалось в случае металлов III (Al, Ga, In) [3–5], IV (Sn, Pb) [6,7] и V (Sb) групп [8], а также Ag и Au [9,10]. Интерес к адсорбции металлов групп III и V связан также и с тем, что они могут полностью пассивировать “оборванные связи” на поверхности Si (111), понижая ее свободную энергию. При этом каждый адатом металла из группы III оказывается связанным с тремя атомами Si, а каждый адатом металла из группы V образует межатомный центр с тройной симметрией, в результате чего все поверхностные оборванные связи полностью насыщаются.

Известно, что адсорбция атомов висмута на поверхности Si (111) также приводит к образованию сверхструктуры $(\sqrt{3} \times \sqrt{3})R30^\circ$ [11–14], однако истинное геометрическое расположение адатомов в приповерхностном слое и соответственно степень заполнения поверхности адсорбатом e , отвечающая этой структуре, до сих пор окончательно не определены. Вообще для соразмерных упорядоченных поверхностных слоев со структурой $\sqrt{3} \times \sqrt{3}$ предложено несколько моделей, которые соответствуют степеням покрытия $\theta = 1/3$ [6,15,16], $\theta = 2/3$ [17] и $\theta = 1$ [9,18], и в которых число атомов в поверхностной элементарной ячейке меняется от 1 до 3 (под монослойным $\theta = 1$ имеется в виду такое наименьшее покрытие, при котором адатомы занимают все эквивалентные адсорбционные центры). Предполагается, что в отношении адатомов Bi эти модели образуют на поверхности Si (111) фазы типа пчелиных сот при $\theta = 2/3$ и тримеры при $\theta = 1$. Экспериментально структура поверхности, образуемой при адсорбции Bi на грани Si (111), исследовалась методами рентгеновской фотоэлектронной дифракции путем сопоставления измеренных интенсивностей рефлексов при разных значениях азимутального и полярного углов с расчетными [8,13], а также дифракции рентгеновских лучей при их почти нормальном падении [17]. В обоих случаях предполагалось, что на каждом адсорбционном центре структуры $\sqrt{3} \times \sqrt{3}$ три атома Bi образуют тример с межатомным расстоянием 3.1 Å, так что структура поверхностного слоя соответствует степени покрытия $\theta = 1$ и оказывается соразмерной с подложкой. С другой стороны, анализ результатов экспериментов по термодесорбции, проведенный в [11,19], показал, что кристаллографическая структура соразмерного упорядоченного поверхностного слоя $\sqrt{3} \times \sqrt{3}$ Bi должна соответствовать степени покрытия $\theta = 1/3$. Но совсем недавно в работах [20,21] при изучении этой адсорбционной системы методами дифракции медленных электронов (ДМЭ) в сочетании с анализом зависимости интенсивности дифракционных рефлексов от энергии электронов и электронной оже-спектроскопии (ЭОС) было убедительно показано, что для структуры $\sqrt{3} \times \sqrt{3}$ Bi наблюдаются две фазы в зависимости от степени покрытия: одна — при покрытии $\theta = 1/3$ (α -фаза), а другая — при $\theta = 1$ (β -фаза). Соответственно предполагалось, что ответственными за появление сверхструктуры $\sqrt{3} \times \sqrt{3}$ при покрытии $\theta = 1$ являются тримеры Bi, а при $\theta = 1/3$ — одиночные атомы Bi (монометры).

В задачу настоящей работы входило детальное, на атомном уровне, исследование структуры субмонослойных пленок Bi на грани (111)

кремния. Интерес к этим исследованиям определялся также тем, что висмут — это полуметалл с малой эффективной массой электронов в направлении роста пленки, широко используемый в микроэлектронике, в частности, для изготовления контактов, так как образует упорядоченные слои на подложке, и проявляющий размерный эффект при адсорбции [22]. Исследования проводились методом сканирующей туннельной микроскопии (СТМ) и ДМЭ.

Методика

Эксперименты были выполнены в сверхвысоковакуумном СТМ Института проблем материаловедения университета Тохоку (Япония), снабженным полевым ионным микроскопом (ПИМ) для контроля качества сканирующих острий [23,24]. Базовое давление в вакуумной камере не превышало 5×10^{-11} Тор. СТМ был также оборудован дополнительной камерой для подготовки образцов со встроенным узлом ULA-020, состоящим из электронографа медленных электронов и оже-спектрометра. Исследуемые образцы представляли собой прямоугольные пластины размером $18 \times 4 \times 0.5$ мм, вырезанные из пластин монокристаллического *p*-типа кремния с удельным сопротивлением 3.0 Ом · см и ориентацией $\langle 111 \rangle$. Непосредственно перед помещением в камеру образец тщательно промывался чистым метанолом, после чего обезгаживался вместе с держателем в течение 12 часов. Поверхность образцов очищалась серией высокотемпературных прогревов до 1230° С прямонакальным способом в вакууме 10^{-10} Тор. Для измерения температуры образцов при очистке и отжиге использовались оптический и инфракрасный пирометры. Слои висмута получали путем термического распыления кусочка металлического Ві чистотой 5N, помещенного в небольшую tantalовую эфузционную ячейку Кнудсена, подобную использованной в [25].

Как известно, важную роль в корректной интерпретации СТМ изображений играет учет геометрических характеристик (форма, размеры) и электронных свойств сканирующего острия [26,27]. Сами острия изготавливались из вольфрамовой монокристаллической проволоки с ориентацией $\langle 111 \rangle$ путем электролитического травления. Выбор вольфрама в качестве материала для сканирующих острий определялся в первую очередь тем, что в нем плотность состояний электронов проводимости вблизи поверхности Ферми содержит изотропную *s/p*-компоненту, которая вносит основной вклад в туннельный ток в СТМ геометрии [27]. Вместе с тем, как показали теоретический анализ [24,26,28] и практика эксплуатации [23,24,29], истинно атомное разрешение в СТМ может быть получено лишь при использовании сканирующих острий с очень маленькими радиусом закругления (эффективный радиус острия не должен превышать ~ 10 Å) и контролируемой поверхностью, поэтому окончательная форма сканирующего острия, содержащая на кончике 3–6 атомов, получалась методом испарения полем при комнатной температуре под непрерывным контролем с помощью ПИМ. ДМЭ использовалась для структурного анализа поверхности и оценки величины Ві покрытия.

Результаты и обсуждение

Основными факторами, определяющими атомную структуру адсорбированных пленок, являются характер взаимодействия атомов с атомами подложки и друг с другом, зависящий от концентрации атомов, а также атомное строение подложки. Различные концентрации атомов Bi получали путем напыления слоев висмута на поверхность кремния (111) при комнатной температуре и последующем их отжиге при температурах 120–560°C. После нанесения толстого слоя Bi при комнатной температуре хорошо известная картина ДМЭ от сверхструктуры (7×7) чистой поверхности Si (111) сменялась слабой диффузной картиной структуры (1×1) или кольцевой структурой, что указывает на присутствие на поверхности нескольких неупорядоченных слоев висмута. С увеличением температуры отжига интенсивность фона на электронограммах ослабевала, а кольцевая структура заменялась картиной структуры $\sqrt{3} \times \sqrt{3}$. После отжига при $T \geq 300^\circ\text{C}$ устанавливалась четкая и резкая ДМЭ картина структуры $\sqrt{3} \times \sqrt{3}$, она оставалась таковой до тех пор, пока не начиналась заметная термодесорбция Bi при температуре 520°C . На рис. 1 приведена типичная электронограмма Si (111) $\sqrt{3} \times \sqrt{3}$ Bi, полученная на грани (111) кремния, покрытой субмонослойной пленкой Bi и отожженной при $T = 360^\circ\text{C}$. Для получения кривых зависимости интенсивности дифракционных рефлексов от энергии электронов была изготовлена серия фотографий ДМЭ картин с одинаковым временем экспозиции и шагом 5 эВ, после чего проведена количественная оценка интенсивности некоторых ха-

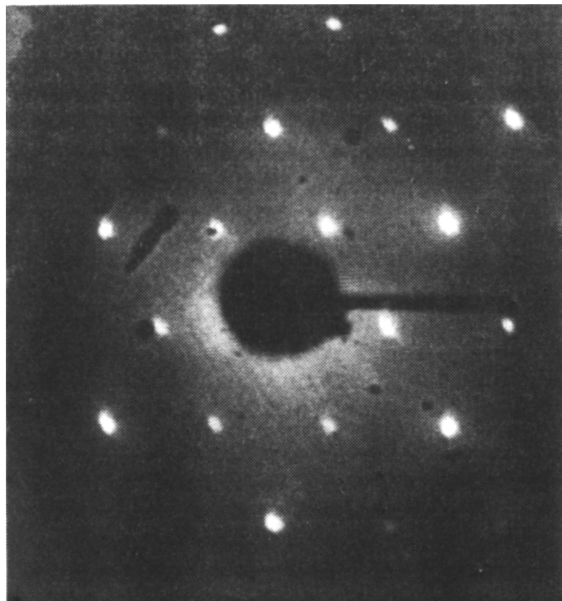


Рис. 1. Картина ДМЭ от слоя Bi, нанесенного на атомарно-чистую поверхность Si (111) 7×7 и подвергнутого отжигу в течение 5 мин при 360°C .
 $E = 40$ эВ; отчетливо видна сверхструктура $\sqrt{3} \times \sqrt{3}$.

рактерных $\sqrt{3}$ -рефлексов с помощью фотометра. Полученные спектры интенсивности рефлексов на электронограммах хорошо согласуются с данными измерений, выполненных в [20,21], и, таким образом, подтверждают предположение о возможности существования по крайней мере двух разных фаз (α - и β -фазы) с различными атомными структурами. Следует отметить, что после отжига при $T = 440^\circ\text{C}$ на ДМЭ картинах в кристаллографическом направлении $\langle 110 \rangle$ появились полоски и дополнительные слабые рефлексы, указывающие на начало фазового перехода $\sqrt{3} \times \sqrt{3} \rightarrow 7 \times 7$ и начало десорбции Bi. Дальнейший отжиг при $T = 520^\circ\text{C}$ приводил к появлению чистых участков со структурой 7×7 одновременно с сохранением части структуры $\sqrt{3} \times \sqrt{3}$, а дифракционная картина представляла собой наложение картин, соответствующих доменам этих структур.

На рис. 2, а приведено СТМ изображение участка такой поверхности, демонстрирующее характерные детальные особенности структур, наблюдавшихся при малых покрытиях Bi. Данное покрытие получено после частичной десорбции предварительно нанесенного висмута. Хорошо видны несколько террас, разделенных моноатомными ступеньками, и большие двумерные островки со структурой $\sqrt{3} \times \sqrt{3}$, а также межфазные границы между доменами структур 7×7 и $\sqrt{3} \times \sqrt{3}$. Островки со структурой $\sqrt{3} \times \sqrt{3}$ демонстрируют достаточно хорошее атомное упорядочение, а их расположение ясно показывает, что зарождение и рост островков преимущественно происходят на краях ступеней.

Интересно отметить, что изображения, как мы полагаем, отдельных атомов Bi, расположенных на островках со структурой $\sqrt{3} \times \sqrt{3}$, имеют округленную форму, но некоторые из них оказываются более темными, чем другие, и наблюдаются в виде небольших островков, причем форма этих круглых деталей структуры существенно не зависит от напряжения смещения V_s между образцом и сканирующим острием. Происхождение такой модуляции в яркости изображений не вполне понятно, однако то, что СТМ изображения, полученные при положительном значении V_s , показали обратную яркость, позволяет предположить, что разница в интенсивности не связана с геометрическими различиями, а определяется скорее электронной структурой исследуемой поверхности. Поэтому мы полагаем, что более яркие кружочки соответствуют атомам Bi, а более темные — атомам Si.

На увеличенном СТМ изображении участка межфазной границы (рис. 2, б) хорошо видны ряды адатомов Bi, выстроенные в ровные линии относительно чистого участка со структурой 7×7 . Приведенный здесь же профиль сканирования поверхности вдоль белой линии, проходящей через угловые "дырки" структуры 7×7 (DAS-модель Такаянаги [2,29]), наглядно демонстрирует, что расположение атомов Bi определенным образом согласуется с нижележащей решеткой кремния, что адсорбция висмута происходит на T_4 -центрах (по DAS-модели), расположенных на верхней части второго слоя атомов Si. Исходя из (внешнего) вида обсуждаемого изображения и его отличия от изображений тримеров, которые хорошо видны при больших покрытиях (рис. 3), мы приходим к заключению, что наблюдавшиеся изображения действительно представляют собой одиночные атомы висмута. Полагая, что каждый атом висмута соответствует отдельной окружной детали

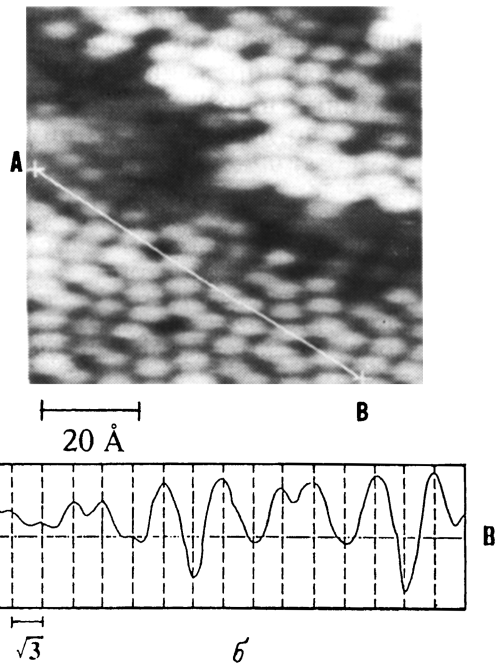
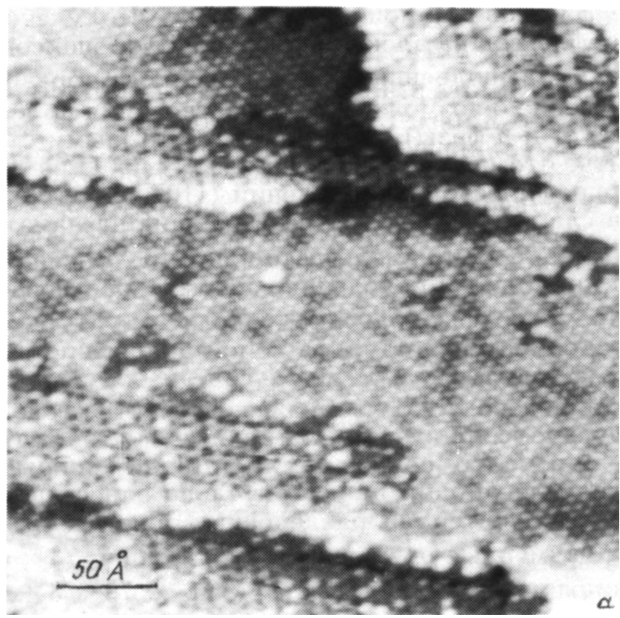


Рис. 2.

a — СТМ изображение участка размером $320 \times 320 \text{ \AA}$ поверхности Si (111) 7×7 после нанесения Ви при комнатной температуре и последующего отжига при 520° C в течение 5 мин, для которой на ДМЭ картине одновременно наблюдалась домены структур 7×7 и $\sqrt{3} \times \sqrt{3}$ (напряжение между образцом и сканирующим острием $V_s = -2.0 \text{ В}$, туннельный ток $I = 2.0 \times 10^{-11} \text{ А}$); *b* — увеличенное СТМ изображение межфазной границы между структурами 7×7 и $\sqrt{3} \times \sqrt{3}$; рельеф волнистости поверхности, снятый вдоль пунктирной линии, демонстрирует адсорбцию на T_4 -центре, расположенному на вершине второго слоя атомов Si.

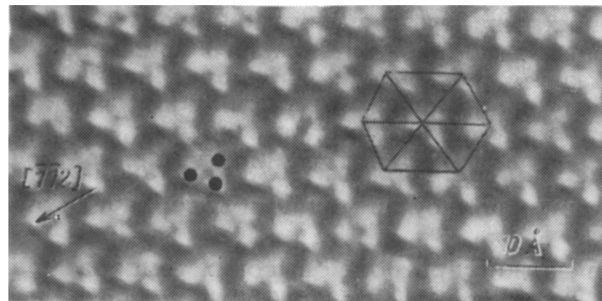


Рис. 3. СТМ изображение ($V_s = -1.6$ В, $I = 2.0 \times 10^{-11}$ А) структуры $\sqrt{3} \times \sqrt{3}$, полученный после нанесения толстого слоя Ві при комнатной температуре и последующего отжига при 390° С. Показаны гексагональные массивы тримеров и положение отдельного тримера.

структуры $\sqrt{3} \times \sqrt{3}$, получаем, что абсолютное Ві покрытие на рис. 2 должно быть равно $1/3$ монослоя и соответствует α -фазе, наблюдавшейся на ДМЭ картинах.

На рис. 3 приведено СТМ изображение участка поверхности размером 65×65 Å со структурой $\sqrt{3} \times \sqrt{3}$, полученной после нанесения толстого слоя Ві при комнатной температуре и последующего отжига при 390° С. ДМЭ картины и спектры интенсивности рефлексов на электронограммах от этой поверхности соответствовали β -фазе, описанной в [20,21]. На СТМ изображении хорошо видно, что поверхность образца покрыта рядами гексагональных массивов выступов с тройной симметрией. При более тщательном рассмотрении можно увидеть, что каждый такой выступ состоит из трех топографических максимумов и это служит хорошим аргументом в пользу предположения о присутствии тримеров висмута на каждом участке $\sqrt{3} \times \sqrt{3}$ поверхности кремния. Расстояние между тремя топографическими максимумами приблизительно равно 3.0\AA , что хорошо согласуется со значением 3.06\AA , полученным из модели, основанной на результатах экспериментов по рентгеновской электронной дифракции [8,13] и дифракции рентгеновских лучей [17].

Следует отметить, что все тримеры Ві ориентированы в кристаллографическом направлении $\langle 112 \rangle$, которое подразумевает, что тримеры выстроены в точном соответствии с геометрией адатомов Si. Заметим также, что структура тримеров не может быть четко отражена на СТМ изображениях при положительных значениях V_s : в этом случае треугольная форма объекта расплывается и предстает в виде, напоминающем большой одиночный округленный выступ. Этот результат позволяет предположить, что изменения в СТМ изображениях отражают изменения в плотности состояний. О подобном же искажении формы тримеров на СТМ изображениях при изменении V_s для структуры $\sqrt{3} \times \sqrt{3}$ Sb на поверхности Si (111) сообщалось в [30]. В рассматриваемом случае (симметрия тримеров) p -орбитали каждого атома Ві связываются с соседними атомами Ві остронаправленными связями под углом 60° , а остающаяся орбиталь связывается с атомами Si, расположенными ниже, устраняя, таким образом, оборванные связи. Два

других остающихся валентных электрона займет свободную пару орбиталей, которые выступают из каждого тримера, и могли бы быть изображены в виде трех выступов распределения плотности заряда заполненных состояний при отрицательном напряжении смещения, как это обсуждалось в случае адсорбции Sb на поверхности Si (111) [30]. Наличие тримеров структуры $\sqrt{3} \times \sqrt{3}$ при такой электронной конфигурации приводит к полной пассивации поверхности Si (111), покрытой монослоем Bi.

Дальнейший отжиг при более высоких температурах (до 500° С) с одновременным анализом СТМ изображений позволили обнаружить новую фазу типа пчелиных сот реконструкции $\sqrt{3} \times \sqrt{3}$. На рис. 4 приведено СТМ изображение этой структуры с достаточно хорошим разрешением, на котором видно, что поверхностная элементарная ячейка $\sqrt{3} \times \sqrt{3}$ содержит два выступа. Данное изображение получено при $V_s = +1.2$ В, но в то же время наблюдалась и некоторая зависимость изображения от величины напряжения смещения. Следует отметить, что при отрицательных значениях V_s структуру типа пчелиных сот наблюдать очень трудно, так как СТМ изображение в этом случае расплывается, но сам факт существования отчетливо выраженной фазы типа пчелиных сот не подлежит сомнению, что подтверждается неоднократным наблюдением наличия факта сосуществования обоих фаз, структуры типа пчелиных сот и тримеров на одном и том же СТМ изображении.

Поверхностная элементарная ячейка структуры типа пчелиных сот содержит два выступа (рис. 4), что предполагает степень заполнения поверхности адсорбатом $\theta = 2/3$ монослоя [18]. Однако структурная модель, предложенная в [14], в действительности содержит 2 атома кремния в элементарной ячейке, ниже которых встроены тримеры висмута. Такая конфигурация заставляет предположить, что степень покрытия поверхности висмутом $\theta = 1$, и что в СТМ изображаются выступающие атомы Si, плотность которых равна 2/3 монослоя. В настоящее время у нас нет убедительных аргументов в пользу такого представления, однако если предположить, что для структуры типа пчелиных сот степень покрытия висмутом $\theta = 1$, то факт ее появления при более высоких температурах отжига, чем это необходимо для образования структуры тримеров, и сосуществование с последней мо-

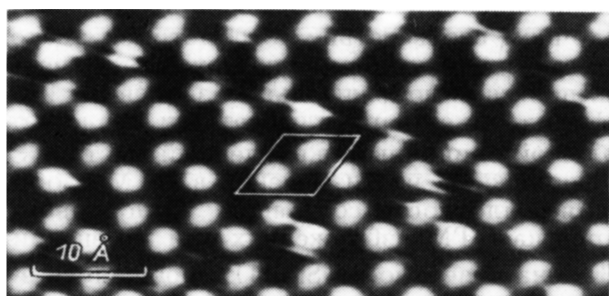


Рис. 4. СТМ изображение структуры типа пчелиных сот, полученной после отжига при 500° С ($V_s = +1.2$ В, $I = 2.0 \times 10^{-11}$ А).

Элементарная ячейка поверхностей решетки содержит два выступа.

жет означать, что структура типа пчелиных сот энергетически более предпочтительна, чем реконструкция типа тримеров. В зависимости от начала процесса зарождения, в котором могут играть роль дефекты и несовершенства на поверхности, тримеры при определенных условиях могут расти вместе с фазой типа пчелиных сот. Это дает основание говорить о существовании дополнительного нового, зависящего от величины покрытия процесса реконструкции.

Заключение

Методами СТМ и ДМЭ исследована атомная структура поверхности Si (111) $\sqrt{3} \times \sqrt{3}$ Bi. Детальный анализ СТМ изображений поверхности Si (111), покрытой субмонослойными пленками висмута, позволил обнаружить три отчетливые фазы реконструкции $\sqrt{3} \times \sqrt{3}$: монометры, тримеры и фазу типа пчелиных сот. При малых покрытиях адатомы Bi занимают T_4 -центры и образуют мономеры. При монослоистом покрытии наблюдаются кластеры висмута с симметрией тримеров, на СТМ изображениях которых оказалось возможным непосредственно разрешить отдельные атомы Bi. При промежуточных покрытиях на СТМ изображениях обнаружено присутствие фазы типа пчелиных сот, существующей с тримерами.

Список литературы

- [1] Brillson L.J. // Surf. Sci. Rep. 1982. Vol. 2. N 1. P. 123-241.
- [2] Persson B.N.J. // Surf. Sci. Rep. 1992. Vol. 15. N 1-3. P. 1-135.
- [3] Northrup J.E. // Phys. Rev. Lett. 1984. Vol. 54. P. 683-686.
- [4] Hybertsen M.S., Louie S.C. // Phys. Rev. 1988. Vol. B38. N 4. P. 4033-4044.
- [5] Ricart J.M., Rubio J., Illas F. // Phys. Rev. 1990. Vol. B42. N 4. P. 5212-5220.
- [6] Kinoshita T., Kono S., Sagawa T. // Phys. Rev. 1986. Vol. B34. N 3. P. 3011-3014.
- [7] Huang H., Wei C.M., Li H., Tonner B.P., Tong S.Y. // Phys. Rev. Lett. 1989. Vol. 62. P. 559-562.
- [8] Park C.-Y., Abukawa T., Kinoshita T. et al. // Jap. J. Appl. Phys. 1988. Vol. 27. P. 147-152.
- [9] Takahashi T., Nakatani S., Okamoto N. et al. // Jap. J. Appl. Phys. 1988. Vol. 27. P. L753-L759.
- [10] Chan C.T., Ho K.M. // Surf. Sci. 1989. Vol 217. P. 403-409.
- [11] Saito Y., Kawazu A., Tominaga G. // Surf. Sci. 1981. Vol. 103. N 3. P. 563-575.
- [12] Kinoshita T., Kono S., Nagayoshi H. // J. Phys. Soc. Jap. 1987. Vol. 56. P. 2511-2517.
- [13] Park C.Y., Abukawa T., Higashiyama K., Kono S. // Jap. J. Appl. Phys. 1987. Vol. 26. P. L1335-L1337.
- [14] Takahashi T., Nakatani S., Ishikawa T., Kikuta S. // Surf. Sci. 1987. Vol. 191. N 3. P. L825-L834.
- [15] Lander J.J., Morrison J. // Surf. Sci. 1964. Vol. 2. N 2. P. 553-562.
- [16] Elswijk H.B., Dijkkamp D., van Loenen E.J. // Phys. Rev. 1991. Vol. B4. N 3. P. 3802-3809.
- [17] Wilson R.J., Chiang S. // Phys. Rev. Lett. 1987. Vol. 58. P. 369-372.
- [18] Van Loenen E.J., Demuth J.E., Tromp R.M., Hamers R.J. // Phys. Rev. Lett. 1987. Vol. 58. P. 373-376.
- [19] Kawazu A., Saito Y., Ogiwara N. et al. // Surf. Sci. 1979. Vol. 86. N 1. P. 108-109.
- [20] Wan K.J., Guo T., Ford W.K., Hermanson J.C. // Phys. Rev. 1991. Vol. B44. N 3. P. 3471-3474.
- [21] Wan K.J., Guo T., Ford W.K., Hermanson J.C. // Surf. Sci. 1992. Vol. 261. N 1. P. 69-87.
- [22] Guo T., Atkinson R.E., Ford W.K. // Rev. Sci. Instr. 1990. Vol. 61. P. 968-974.
- [23] Sakurai T., Hashizume T., Kamiya I. et al. // J. Vac. Sci. & Technol. 19x89. Vol. A7. N 2. P. 1684-1692.
- [24] Sakurai T., Hashizume T., Kamiya I. et al. // Progress in Surf. Sci. 1990. Vol. 33. N 1. P. 3-89.

- [25] Paffett M.T., Campbell C.T., Taylor T.N. // J. Vac. Sci. & Technol. 1985. Vol. A3. N 3. P. 812-816.
- [26] Tsukada M., Shima N. // J. Phys. Soc. Jap. 1987. Vol. 56. N 4. P. 2875-2883.
- [27] Tersoff J., Namann D.R. // Phys. Rev. 1985. Vol. B31. N 2. P. 805-812.
- [28] Sakurai T., Sakai A., Pickering H.W. // Atom-Probe Field Ion Microscopy and Its Applications. New York: Academic Press, 1989. P. 261-263.
- [29] La Femina J.P. // Surf. Sci. Repts. 1992. Vol. 16. N 4/5. P. 133-261.
- [30] Vartensson P., Meyer G., Amer N.M. et al. // Phys. Rev. 1990. Vol. B42. N 6. P. 7230-7233.
-